

$U(15)$ 模型下大形变核 $E2$ 算符之研究*

吴华川

(苏州大学)

摘要

本文用调整算符内系数的办法,对 $U(15)$ 模型的 $E2$ 算符进行了研究。结果表明:由于引进了 g 玻色子, $SU(3)$ 限下的 $E2$ 跃迁在不同能带间跃迁几率比值的可变性、 $B(E2)$ 在高角动量处的行为及高带首能带的跃迁方面,比 $U(6)$ 模型有改进。

一、引言

用相互作用玻色子模型对大形变核的 $E2$ 跃迁问题的研究,首先由 Arima 和 Iachello^[1] 在严格的 $SU(3)$ 限下进行。他们取 $SU(3)$ 群生成元 $Q_M^{\alpha\beta}$ 作为 $E2$ 算符,给出了基带和 β 带带内 $B(E2)$ 的解析表达式。并指出,在 $SU(3)$ 限附近,应存在 $\gamma \rightarrow \beta$ 跃迁对 $\gamma \rightarrow g$ 和 $\beta \rightarrow g$ 跃迁的优势。

然而,大多数大形变核并非处于严格的 $SU(3)$ 限。 $Warner$ 和 $Casten$ ^[2] 对这类核的 $E2$ 跃迁进行了深入的研究。他们工作的一个显著特点就是,不但考虑了组态混合,而且考虑了 $E2$ 算符本身的变化。他们使用的 $E2$ 算符的一般形式为

$$T(E2) = \alpha \left[(d^+ \tilde{s} + s^+ \tilde{d})^{(2)} + \frac{R}{\sqrt{5}} (d^+ \tilde{d})^{(2)} \right], \quad (1)$$

式中, R 可在 0—2.958 范围内变化。通过数值计算得出,在 $SU(3)$ 限附近,存在 $\beta \rightarrow \gamma$ 和 $\gamma \rightarrow g$ 跃迁对 $\beta \rightarrow g$ 跃迁的优势,而且比率 $\beta \rightarrow g / \gamma \rightarrow g$ 为定值(≈ 0.15),与系数 R 无关。他们还给出适用于整个稀土区大形变核的 R 的范围: $-1.2 < R < -0.5$ 。 $Bijker$ 和 $Dieperink$ ^[3] 利用内禀态进行解析计算,也得到类似的结果。

但是,实验事实和 IBA 的微观计算表明,在大形变区 g 玻色子的作用不可忽略,因而模型也可由 $U(6)$ 扩展为 $U(15)$ ^[4-7]。 $文献[5]$ 对 $U(15)$ 模型严格的 $SU(3)$ 限下的 $E2$ 跃迁进行了讨论,指出 g 玻色子的引进对基带带内跃迁几率在高角动量处的行为比 $U(6)$ 模型有显著改进。本文则拟对 $SU(3)$ 限附近一般情形下的 $E2$ 跃迁进行研究,特别是要弄清 g 玻色子对 $E2$ 跃迁的影响。文中所涉及到的计算,均在 $SU(15) \supset SU(3) \supset SO(3)$ 基^[8] 上进行。

本文 1983 年 11 月 29 日收到。

* 中国科学院科学基金资助的课题。

二、 $E2$ 算符的一般形式

$U(15)$ 模型 $SU(3)$ 限下 $E2$ 算符为^[5]:

$$T(E2) = q_1(d^+\tilde{s} + s^+\tilde{d})^{(2)} + q_2(d^+\tilde{d})^{(2)} + q_3(d^+\tilde{g} + g^+\tilde{d})^{(2)} + q_4(g^+\tilde{g})^{(2)}, \quad (2)$$

其中 $q_1 = 4\sqrt{\frac{7}{15}}$, $q_2 = -11\sqrt{\frac{2}{21}}$, $q_3 = 36\sqrt{\frac{1}{105}}$, $q_4 = -2\sqrt{\frac{33}{7}}$. 一般地说, 当偏离 $SU(3)$ 限时, $q_1 \sim q_4$ 均应发生变化. 但是, 我们注意到 $q_2/q_1 = -1.242$ 接近于 (1) 式中 $R/\sqrt{5}$ 在 $SU(3)$ 限下的值 -1.323 , 而且 q_3, q_4 所对应的两项均与 g 玻色子有关. 因而, 我们可将 3、4 两项视为 $U(15)$ 模型与 $U(6)$ 模型中 $E2$ 算符之差, 并用一个统一的参数 R_2 来表示这种差别的程度. 于是(2)式可整理为:

$$T(E2) = \alpha \left\{ (d^+\tilde{s} + s^+\tilde{d})^{(2)} + R_0 \frac{(d^+\tilde{d})^{(2)}}{\sqrt{5}} + R_2 [(g^+\tilde{d} + d^+\tilde{g})^{(2)} - 1.236(g^+\tilde{g})^{(2)}] \right\}. \quad (3)$$

在 $SU(3)$ 限下, $R_0 = -2.778$, $R_2 = 1.286$. 与文献[2]类似, 我们有

$$B(E2; L_i \rightarrow L_f) = (M_1 + R_0 M_0 + R_2 M_2)^2, \quad (4)$$

其中

$$\left. \begin{aligned} M_1 &= (2L_i + 1)^{-\frac{1}{2}} \langle f | (s^+\tilde{d} + d^+\tilde{s})^{(2)} | i \rangle, \\ M_0 &= (2L_i + 1)^{-\frac{1}{2}} \left\langle f \left| \frac{(d^+\tilde{d})^{(2)}}{\sqrt{5}} \right| i \right\rangle, \\ M_2 &= (2L_i + 1)^{-\frac{1}{2}} \langle f | [(g^+\tilde{d} + d^+\tilde{g})^{(2)} - 1.236(g^+\tilde{g})^{(2)}] | i \rangle. \end{aligned} \right\} \quad (5)$$

上式中 f 和 i 分别表示跃迁的末态与初态.

由于我们对 $U(15)$ 模型其他极限的数学结构及物理背景尚不十分清楚, 所以不能确定 $R_0 = 0$ 与 $R_2 = 0$ 时 $T(E2)$ 的物理内容. 但是我们感兴趣的仅仅是 $SU(3)$ 限附近的 $E2$ 跃迁规律, 在这样一个区域内, 我们可以认为: R_2 的减小, 反映 g 玻色子分量的下降; 而(与文献[2]类似地)减小 R_0 的绝对值, 则在某种程度上与 $SU(3)$ 限到其他极限的过渡有关.

三、计算结果及讨论

本节中, 我们首先在纯 $SU(15) \supset SU(3)$ 态上进行计算, 以观察参数 R_0, R_2 的变化对 $B(E2)$ 的影响, 并与 $U(6)$ 模型下的结果进行比较. 不考虑 Hamiltonian 中微扰的影响, 会引起结果的一些偏差, 但是用纯 $SU(3)$ 态, 更能突出 $U(15)$ 模型 $E2$ 算符的主要特点. 微扰的影响, 在本节最后(4)讨论.

1. $\gamma \rightarrow \beta$ 和 $\gamma \rightarrow g$ 跃迁对 $\beta \rightarrow g$ 跃迁的优势

表 1 左半部给出 $N = 16$ 情形下几种跃迁的 $E2$ 矩阵元值. (右半部为考虑微扰后的相应值, 详见本节 4 的讨论)

我们利用(4)式, 在参数平面 R_0-R_2 (图 1) 上讨论 $B(E2)$ 的行为.

表1 几种典型的 $E2$ 跃迁矩阵元

跃迁类型*	M_1	M_0	M_2	M_1	M_0	M_2
$g \rightarrow g$	5.149	-1.015	3.427	5.186	-0.925	3.543
$\beta \rightarrow g$	0.944	-0.073	-0.892	0.933	-0.101	-0.865
$\gamma \rightarrow g$	0.439	0.194	0.079	0.480	0.192	0.012
$\gamma \rightarrow \beta$	0.125	0.013	0.289	-0.017	-0.027	0.305
	纯 $SU(3)$ 态			考虑微扰后		

* 所有跃迁均为 $2^+ \rightarrow 0^+$.

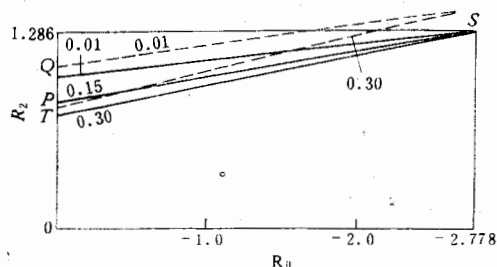
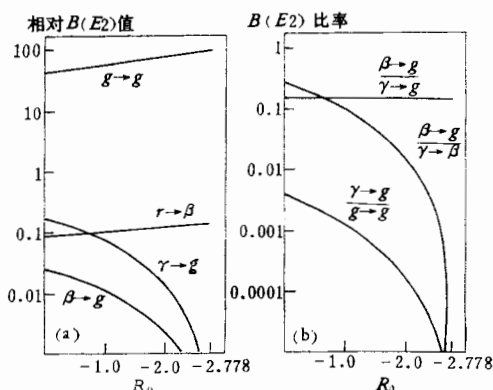
图1 R_0-R_2 参数平面(每根直线上部标注的数字为相应的 $K_{\beta\gamma}$ 值)

图1中 S 点(坐标为 $-2.778, 1.286$)与 $SU(3)$ 限对应. 该点上, 显然有 $B(E2; \gamma \rightarrow g) \equiv B(E2; \beta \rightarrow g) \equiv 0$. 当偏离 S 点时, 情形比 $U(6)$ 复杂. 但若让 R_0 与 R_2 成比例地变化, 即沿以 S 为起点的直线变化, 则文献[2]中所得出的关于 $E2$ 跃迁的主要特点, 可以很好地再现. 由(3)式关于 R_0 和 R_2 的线性性质可知, 当参数沿上述某一确定直线变化时, 不同 $SU(3)$ 表示间的跃迁几率成比例. 若令

$$K_{\beta\gamma} = \frac{B(E2; 2_\beta^+ \rightarrow 0_g^+)}{B(E2; 2_\gamma^+ \rightarrow 0_g^+)},$$

则沿 SP 线有 $K_{\beta\gamma} \equiv 0.15$ (与 $U(6)$ 中相应比值同). 图2中给出 SP 线上几种 $E2$ 跃迁的相对 $B(E2)$ 值(a) 及其比率(b) 随参数 R_0 之变化.

(a) 相对 $B(E2)$ 值(b) $B(E2)$ 值间的比率

($N=16$; 所有跃迁均为 $2^+ \rightarrow 0^+$)

将图2与文献[2]中Fig. 2对照,可以看出, $B(E2)$ 相对值及其比率随参数变化规律是极其相似的。在 $U(15)$ 模型中, $\gamma \rightarrow g$ 和 $\gamma \rightarrow \beta$ 对 $\beta \rightarrow g$ 的优势依然存在, 且有 $K_{\beta\gamma} = 0.15$; 在 $R_0 = -2.778$ 处, $\gamma \rightarrow g$ 及 $\beta \rightarrow g$ 的 $B(E2)$ 值均为 0。

值得注意的是, 在 $U(15)$ 模型中, $K_{\beta\gamma}$ 是可以随参数平面中直线的斜率而改变的。例如, 图1中 SQ 线与 ST 线分别与 $K_{\beta\gamma} = 0.01$ 和 0.30 对应。文献[2]中所引用的稀土区大形变核的 $E2$ 跃迁中 $K_{\beta\gamma}$ 的实验值, 均可由 $U(15)$ 模型在 ST 与 SQ 所夹区域内得到。显然, $K_{\beta\gamma}$ 对 R_2 的变化更为敏感, 这表明, g 玻色子的分量大小在决定 $K_{\beta\gamma}$ 值中起关键作用。

$K_{\beta\gamma}$ 的这种可变性, 也可以从几何模型的角度定性地说明。Warner 和 Casten^[2] 指出, 通过 $U(6)$ 模型与几何模型的类比可求得 $K_{\beta\gamma} = \frac{B_\gamma}{2B_\beta} = \frac{C_\gamma}{2C_\beta}$, 其中 B_β 、 B_γ 、 C_β 和 C_γ 为各能带的内禀等效质量和刚性参数。对每一确定的能带, 这些参数均为定值, 因而 $K_{\beta\gamma}$ 亦为定值。引进 g 玻色子后, 即考虑了 16 极运动。对于这种系统若要应用 Bohr 和 Mottelson 的几何模型, 则要通过某种‘重整化’的手续, 将 16 极运动吸收到内禀参数 (B 、 C) 中去。随着 g 玻色子分量的变化, 形变核的内禀参数亦产生变化, 因此 $K_{\beta\gamma}$ 也随之而变。

由于稀土区大形变核的 $K_{\beta\gamma}$ 在一个相当大的范围内变化, 所以 $U(15)$ 模型在拟合 $K_{\beta\gamma}$ 数据时要比 $U(6)$ 好。但是, 必须指出, $U(15)$ 模型的 $\gamma \rightarrow g/g \rightarrow g(2^+ \rightarrow 0^+)$ 跃迁比率则比 $U(6)$ 模型给出的低, 与实验值的符合也不如 $U(6)$ 好。

以上计算中取 $N = 16$, 但由于 $SU(15) \supset SU(3) \supset SO(3)$ 的 cfp 在 $N \geq 10$ 区域内表现出缓慢变化的规律^[8], 故上面的讨论对整个大形变区均适用。

2. 高角动量处的 $E2$ 跃迁

在 $U(6)$ 模型中, 由于截断效应, 在高角动量处 $B(E2)$ 值急剧下降, 低于实验值。引进 g 玻色子后, 下降变慢^{[5],[7]}。下面我们以基带带内 $L + 2 \rightarrow L$ 跃迁为例, 具体分析 g 玻色子的效应。计算中, 取 R_0 为定值 -1.0 , 让 R_2 变化, 以观察它对 $B(E2)$ 值的影响。

图3中, 三条实线分别表示与几何模型、 $U(15)$ 模型与 $U(6)$ 模型相对的 $B(E2)$ 值;

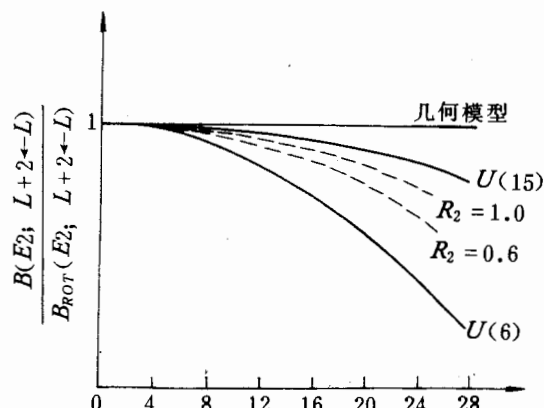


图3 $g \rightarrow g$ 跃迁的相对 $B(E2)$ 值 ($N = 16$)

两条虚线分别与 $R_2=1.0$ 和 0.6 对应($U(15)$ 模型的实线对应 $R_2=1.286, R_0=-2.778$).

有关常数选择,要使 $L=0$ 时 $\frac{B(E2)}{B_{ROT}(E2)} \equiv 1$. 显然,当 R_2 值减小时,高角动量处 $B(E2)$

值下降加快,即由 $U(15)$ 的规律向 $U(6)$ 的规律靠近. 这种情形是不难理解的. 因为,当 L 增大时, $SU(3)$ 态的 g 玻色子分量也增加^[10], 因而 M_2 的贡献所占比重也增加; 所以 R_2 越小, $B(E2)$ 在大角动量处的下降就越快. 在上述意义上,我们可以将 R_2 视为某种实现由 $U(15)$ 到 $U(6)$ 模型过渡的参数.

当唯象地定出 R_0, R_2 参数后,可以得到介于 $U(15)$ 与 $U(6)$ 实线间的某根 $B(E2)$ 曲线. 但是,由于目前高角动量处 $B(E2)$ 的实验误差很大,而且某些核存在回弯现象,现在还难以用实验数据精确检验 R_0, R_2 参数定得是否好. 但是,可以认为,由于能够调节 R_2 , 使系统(在某种意义上)处于 $U(15)$ 模型到 $U(6)$ 模型之间的中间状态,从而使理论更加合理.

3. 不同 $SU(3)$ 表示之间的跃迁

$U(15)$ 模型的典型能谱如图 4 所示,图中 W 为能带编号.

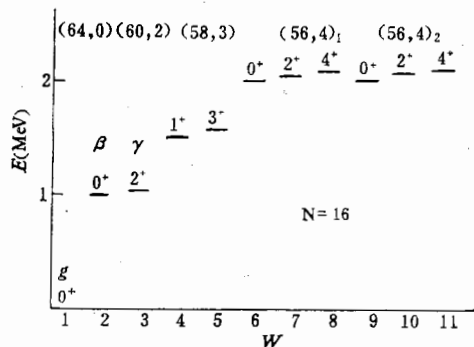


图 4 $U(15)$ 能谱 ($N = 16$)
(只画出每个能带的带首;能级上符号为 K^*)

图 4 中 $SU(3)$ 表示 $(58,3)$ 和 $(56,4)_2$ 对应的能带在 $U(6)$ 模型中是不存在的. $U(6)$ 模型中,由 $SU(3)$ 表示 $(\lambda, \mu \geq 3)$ 中任一能带到基带的 $E2$ 跃迁矩阵元恒为 0 (与参数 R 无关). 因此,这类跃迁(实验上是存在的)就无法用调节 R 参数来解释. 然而,在 $U(15)$ 模型中,只要参数 R_0, R_2 偏离图 1 中 S 点(严格的 $SU(3)$ 限),则这种跃迁矩阵元可以不为零;而且,当参数沿以 S 为起点的直线变化时,各不同 $SU(3)$ 表示间的跃迁几率成比例.

典型的大形变核 ^{168}Er 有丰富的能带^[9](图 4 所示的能带,除 $W=4, 6$ 的带外,其余的均在实验上发现了),且已测量了多种方式的跃迁. 下面,我们在不考虑 Hamiltonian 微扰项的前提下,仅通过选择参数 R_0, R_2 ,计算出 $B(E2)$ 值,并与实验作一定性比较. 计算中我们仍取参数在 SP 线上变化. 各能带到 g, β 和 γ 带的相对 $B(E2)$ 值列于表 2 中.

统观上表所列跃迁,凡理论预言的相对 $B(E2)$ 值较大的跃迁,无一例外地被测到. 注意到本文中所用能带排列与文献[10]中的排列完全相同,说明这种排列既最有利于能谱

表 2 ^{168}Er 各能带到 g 、 β 和 γ 带的 $E2$ 跃迁几率 ($K_{\beta\gamma} = 0.15$)

K^*	初态带首能量(keV)	$W_i \rightarrow W_f$	$L_i \rightarrow L_f$	理论 $\frac{B(E2)}{B(E2; 2_+^2 \rightarrow 0_+^2)}$	实验*
0+	1217	2-1	2-0	0.15	V
2+	821	3-1	2-0	1.00	V
3+	1653	{ 5-1 5-2 5-3 }	3-2	≈ 0 ≈ 0 ≈ 0	V
2+	1930	{ 7-1 7-2 7-3 }	2-2	≈ 0 0.27 0.04	V V
4+	2055	{ 8-1 8-2 8-3 }	4-2	≈ 0 ≈ 0 0.52	V
0+	1422	{ 9-1 9-2 9-3 }	2-2	0.32 ≈ 0 ≈ 0	V V
2+	1848	{ 10-1 10-2 10-3 }	2-2	1.52 0.04 0.01	V V
4+	2030	{ 11-1 11-2 11-3 }	4-2	≈ 0 ≈ 0 ≈ 0	

* “V”表示实验^[9]上已测到这种跃迁。

拟合，又最有利于 $E2$ 跃迁的拟合。这种‘自治性’若被证明普遍存在的话，则它是 $U(15)$ 模型的内在合理性的表现。

4. 能量微扰对 $E2$ 跃迁的影响

上面的讨论均未考虑能量微扰项的影响。由于迄今只有极少数大形变核被测定具有 $SU(3)$ 表示 $(4N - 6, 3)$ 和 $(4N - 8, 4)_2$ 所包含的能带，所以利用微扰项在 $U(15)$ 模型下对能谱的拟合工作尚不能系统地进行。但文献[10]对 ^{168}Er 的微扰计算表明，虽然 β 带与 γ 带的劈裂过小，但对 $W \geq 5$ 的所有高带首能带理论与实验的符合是很好的。计算中 Hamiltonian 取为

$$H = -kQ \cdot Q - k'L \cdot L + \xi(P_1^+ P_1) + \eta(P_2^+ P_2), \quad (6)$$

其中 P_1^+ 、 P_2^+ 分别为 $s-d$ 玻色子和 g 玻色子的对算符； $\xi = -6\text{keV}$ ， $\eta = 17\text{keV}$ 。作为一个例子，我们用(6)式的微扰及其参数，计算了 $N = 16$ 情形下的 M_1 、 M_0 和 M_2 值，列于表 1 右半部。按照这些矩阵元，图 1 参数平面上 $0.3 > K_{\beta\gamma} > 0.01$ 的区域变为两条虚线所夹区域。这表明，在考虑能量微扰后，仍可适当选取 R_0 、 R_2 值，使 $K_{\beta\gamma}$ 与实验有较好的符合。但是，即使考虑了上述微扰， $\gamma \rightarrow g/g \rightarrow g$ 的 $(2^+ \rightarrow 0^+)$ 比率自小于实验值。这或许是因为， $U(15)$ 模型的优越性主要在较高角动量和较高能量处，而在低态上的某些方面却不如 $U(6)$ 好。

四、结语

综上所述，在 $U(15)$ 模型中，只要适当选择 $E2$ 算符表示式内的参数， $U(6)$ 模型中

$E2$ 跃迁的主要特点可以很好地再现。由于 g 玻色子的效应, $U(15)$ 模型在下述方面具有优越性: i) $K_{\beta\gamma}$ 的可变性; ii) 高角动量处 $B(E2)$ 的行为可处于 $U(15)$ 与 $U(6)$ 的中间状态, 以适应 g 玻色子分量可变的事实; iii) 可用调节 R_0, R_2 的方式解释高能带的跃迁, 使得理论方法有一致性。在一定的、局限的意义上, 我们可将 R_2 视为决定 $U(15)$ 模型到 $U(6)$ 模型过渡的参量。但是, 在解释 $\gamma \rightarrow g/g \rightarrow g$ 跃迁几率比值上, $U(15)$ 模型却不如 $U(6)$ 模型。这或许表明, 在低能态的某些问题上 $U(6)$ 模型比 $U(15)$ 模型更好些。

周孝谦教授建议作此工作, 与作者进行过多次有益的讨论, 并转达了 Dr. D. D. Warner 的有益建议。作者谨对他们表示谢意。

参 考 文 献

- [1] A. Arima and F. Iachello, *Ann. Phys. (N. Y.)*, 111 (1978), 201.
- [2] D. D. Warner and R. F. Casten, *Phys. Rev.*, C25(1982), 2019.
- [3] R. Bijker and A. E. L. Dieperink, *Phys. Rev.*, C26(1982), 2688.
- [4] R. D. Ratna Raju, *Phys. Rev.*, C23(1981), 518.
- [5] H. C. Wu, *Phys. Lett.*, 110B(1982), 1.
- [6] 凌寅生, 高能物理与核物理, 6(1982), 77.
- [7] R. D. Ratna Raju, *J. Phys. G*, 8(1982), 1663.
- [8] H. C. Wu and J. Q. Chen, Preprint.
- [9] W. F. Davidson et al., *J. Phys.*, 7(1981), 455.
- [10] H. C. Wu and X. Q. Zhou, *Nucl. Phys.*, to be published.

A STUDY OF $E2$ OPERATOR IN $U(15)$ MODEL FOR DEFORMED NUCLEI

WU HUA-CHUAN
(Suzhou University)

ABSTRACT

In this paper, the $E2$ operator in the scheme of $U(15)$ model is studied by means of varying the parameters in the $E2$ operator itself. It is shown that, compared with the $U(6)$ model, the $U(15)$ model has some advantages in explaining the flexibility of the ratio of the $E2$ transition probabilitys between different bands, the behavior of $B(E2)$ at high-spin states and transitions between high bands.